

# КИНЕТИКА ВЕРТИКАЛЬНОГО ТРАНСПОРТА И ЛОКАЛИЗАЦИИ ЭЛЕКТРОНОВ В НАПРЯЖЕННЫХ ПОЛУПРОВОДНИКОВЫХ СВЕРХРЕШЕТКАХ

*Л. Г. Герчиков\*, Ю. А. Мамаев, Ю. П. Яшин*

*Санкт-Петербургский государственный политехнический университет  
195251, Санкт-Петербург, Россия*

Поступила в редакцию 12 ноября 2014 г.

Рассмотрена кинетика вертикального транспорта электронов в полупроводниковой сверхрешетке с учетом их частичной локализации. Рассчитанные путем численного решения кинетического уравнения временные зависимости токов фотоэмиссии из образцов на основе напряженной полупроводниковой сверхрешетки находятся в хорошем согласии с экспериментальными данными. Проведенное сравнение теории с экспериментом позволило определить характерные времена локализации и термоактивации электронов, длину диффузии и потери фотоэлектронов в сверхрешетке.

DOI: 10.7868/S0044451015080180

## 1. ВВЕДЕНИЕ

Интенсивные исследования транспортных свойств полупроводниковых сверхрешеток (СР) с самого их начала связаны с предсказанным эффектом отрицательного дифференциального сопротивления. Этот эффект, который и был, собственно, причиной создания СР [1], определяется блоховскими осцилляциями носителей тока в СР, возникающими при приложении внешнего электрического поля вследствие конечности ширины минизоны размерного квантования вдоль оси СР. При исследовании вертикального транспорта (движения носителей тока вдоль оси СР) электрическими методами [2, 3] приложение внешних электрических и магнитных полей приводит к изменению состояний носителей тока и, таким образом, изменяет характер самого транспорта. Так, когда разность потенциала в соседних квантовых ямах (КЯ) СР становится сравнимой с шириной минизоны, возникает локализация носителей тока в КЯ, так называемая лестница Ванье–Штарка [4]. Для того чтобы обойти эти сложности, был предложен чисто оптический метод регистрации вертикального транспорта в СР. Метод основан на измерении фотолюминесценции (ФЛ) из СР и из

специально встроенной в нее уширенной КЯ. Ширина и состав ямы выбираются так, чтобы можно было спектрально различить линии ФЛ этой КЯ и СР, а сама яма играла роль пространственного маркера вертикального транспорта, аккумулируя попавшие в нее электроны и дырки [5]. Измерения проводятся как при стационарном фотовозбуждении, так и с разрешением по времени при импульсном возбуждении ФЛ. В сильно додированых СР может быть применен и другой оптический метод, основанный на измерении спектра отражения СР в  $p$ -геометрии и определении по нему концентрации и подвижности носителей тока вдоль оси СР [6, 7].

Отметим, что при исследовании вертикального транспорта методом анализа ФЛ необходимо рассматривать движение как электронов, так и дырок, учитывая возможные экситонные эффекты. В зависимости от уровня фотовозбуждения, степени легирования СР и температуры вид вертикального транспорта может сильно меняться от независимого движения носителей до амбиполярной диффузии электронов и дырок и чисто экситонного транспорта [8, 9].

В настоящей работе исследуется кинетика электронного транспорта альтернативным методом, основанным на анализе токов эмиссии фотоэлектронов возбужденных в  $p$ -легированной СР [10]. При этом СР является составной частью фотокатода, от поверхности которого ее отделяет узкий слой

\*E-mail: lgerchikov@rambler.ru

сильно дopedированного GaAs. Поверхность GaAs обрабатывается атомами Cs и O для создания отрицательного электронного сродства [11]. Изменение положения уровня Ферми на поверхности GaAs в результате ее активации приводит к сильному изгибу зон в слое GaAs и возникновению в нем области объемного заряда (ООЗ) из заряженных акцепторов. Таким образом, поверхностный слой GaAs представляет глубокую, до 0.5 эВ, асимметричную квантовую яму у поверхности фотокатода. Свет лазера попадает в фотокатод со стороны его наружной поверхности и генерирует фотоэлектроны в СР, которые затем диффундируют в сторону ООЗ, где захватываются приповерхностной КЯ и некоторая часть из них выходит в вакуум. Поверхностный слой GaAs сильно дopedируется до уровней  $10^{19}$  см<sup>-3</sup> для создания узкой, порядка 6 нм, ООЗ, что увеличивает вероятность эмиссии в вакуум электронов, захваченных в ООЗ. Измерение токов фотоэмиссии проводится как в стационарном, так и в импульсном режимах. В последнем случае фотоэмиссия возбуждается коротким фемтосекундным лазерным импульсом, а интенсивность фотоэмиссии регистрируется с разрешением по времени. Первоначально этот метод был разработан в работе [12] для изучения транспорта электронов в традиционных фотокатодах с рабочей областью из объемного GaAs и затем применен для изучения вертикального электронного транспорта в напряженных полупроводниковых СР [10].

Фотокатоды с рабочей областью на основе напряженных полупроводниковых СР известны как наиболее эффективные источники поляризованных электронов [13]. Пучки поляризованных электронов используются в различных областях физики от спинtronики [14, 15] до физики высоких энергий [16]. Спиновая поляризация фотоэлектронов возникает в результате оптической генерации циркулярно поляризованным светом электронов проводимости из спин-орбитально расщепленной валентной зоны полупроводника. В обычных объемных ненапряженных полупроводниках AlPbV с вырожденной валентной зоной максимально возможная степень поляризации составляет 50 % [17]. В напряженных СР вырождение валентной зоны снимается вследствие двух эффектов: деформации и размерного квантования. В результате энергетического расщепления состояний тяжелых и легких дырок максимально возможная степень поляризации на краю поглощения повышается до 100 % [13], что и делает напряженные СР перспективной основой для источников поляризованных электронов. На практике максималь-

ная поляризация фотоэмиссии около 90 % была достигнута у фотокатодов на основе короткопериодической СР с напряженными КЯ [18, 19]. Так, у фотоэмиттера с AlInGaAs/AlGaAs-СР максимальная поляризация составила  $P = 92\%$  [19]. Состав этой СР был специально разработан для создания энергетического расщепления минизон легких и тяжелых дырок более 80 мэВ в комбинации с хорошими транспортными свойствами первой электронной минизоны размерного квантования.

Максимальная поляризация фотоэлектронов возникает на краю фотопоглощения, где коэффициент поглощения не превышает 10<sup>4</sup> см<sup>-1</sup>. Типичная же толщина напряженной короткопериодической СР составляет около 0.1 мкм. Таким образом, на фотовозбуждение тратится менее 10 % энергии света, поступающего в рабочую область фотоэмиттера. Остальная часть теряется в подложке. По причине значительных потерь фотоэлектронов при эмиссии в вакуум и отражения света от поверхности фотоэмиттера его квантовая эффективность,  $QE$ , в области поляризационного максимума оказывается меньше 1 % [19]. Это явно недостаточно для создания фотокатодов высокой яркости, используемых в качестве источников пучков поляризованных электронов в современных ускорителях частиц [20]. Поэтому актуальной практической задачей является существенное увеличение  $QE$  фотоэмиттера при сохранении высокой поляризации электронов  $P \geq 90\%$ .

Решение этой задачи ведется по нескольким направлениям. Так, был разработан фотоэмиттер с распределенным брэгговским рефлектором (РБР), помещенным между СР и подложкой [21–23]. Отражение света от РБР предотвращает его потери в подложке, а совместное отражение света от наружной поверхности фотоэмиттера и РБР превращает рабочую область фотокатода в резонатор Фабри–Перо. При должном подборе ширины рабочей области оптический резонанс может на порядок увеличить  $QE$  фотоэмиттера [23].

Другим, более традиционным способом увеличения  $QE$  является увеличение толщины рабочей области до размеров порядка длины фотопоглощения. С этой целью нами была изготовлена серия фотокатодов с AlInGaAs/AlGaAs-СР с разным числом периодов. Однако исследование не выявило монотонного роста  $QE$  в зависимости от толщины рабочей области, как это имеет место в случае традиционных фотокатодов на основе объемного GaAs [12]. Полученные результаты свидетельствуют об аномально малой по сравнению с объемным GaAs длине диффузии электронов вдоль оси СР. Типичные значения

длины диффузии в исследованных образцах порядка 0.1 мкм говорят о значительных потерях фотоэлектронов в СР.

Для выяснения причины этого явления мы использовали метод, основанный на измерениях с разрешением по времени токов фотоэмиссии после возбуждения фотокатода фемтосекундным лазерным импульсом [12]. Была исследована серия образцов содержащих от 6 до 15 периодов AlInGaAs/AlGaAs-СР [10]. Во всех образцах наблюдался неэкспоненциальный спад фототока. В течение первых пикосекунд наблюдалось быстрое уменьшение фототока с характерным временем в нескольких пикосекунд, причем это время слабо зависело от длины СР. Затем быстрый спад фототока сменялся более медленным его затуханием. Такое поведение фототока было интерпретировано как свидетельство частичной локализации фотоэлектронов [10]. Быстрый спад фототока обусловлен комбинацией процессов захвата фотоэлектронов на локализованные состояния и вертикального транспорта электронов к поверхности фотокатода с последующей их эмиссией в вакуум. Длинный участок медленного спада фототока обусловлен более медленным процессом термоактивации локализованных состояний и эмиссией в вакуум электронов проводимости, возникающих в результате этого процесса. Частичная локализация электронов проводимости подавляет их транспорт, что объясняет уменьшение длины диффузии и большие потери фотоэлектронов.

Подобная локализация, кардинально меняющая характер вертикального электронного транспорта в СР, наблюдалась ранее в сильно допированных GaAs/AlAs-СР [7]. В используемых нами фотокатодах также применяется высокий уровень допирования, необходимый для создания изгиба зон в узкой области объемного заряда. Помимо флуктуаций примесного потенциала, структурные дефекты СР, неизбежные при их росте, такие как флуктуации толщин гетерослоев и шероховатости гетерограниц, также приводят к образованию локализованных состояний, влияющих на вертикальный транспорт [8, 9]. В рассматриваемых нами сильно напряженных СР имеется дополнительный источник локализации электронов. Это дислокации, возникающие при релаксации деформации в напряженной СР при превышении величины деформации и длины СР некоторых критических уровней.

Целью данной работы является описание кинетики вертикального электронного транспорта в СР с учетом частичной локализации электронов. Мы

рассчитали зависимость тока фотоэмиссии от времени путем численного решения кинетического уравнения, учитывающего процессы вертикального транспорта электронов в СР, их туннелирования из СР в ООЗ, захвата на локализованные состояния и их термоактивацию. Полученные результаты находятся в хорошем согласии с экспериментальными зависимостями фотоотклика. Сравнение теоретических расчетов с экспериментальными данными позволило определить параметры электронного транспорта, характерные времена локализации и термоактивации электронов, степень их частичной локализации, длину диффузии и потери фотоэлектронов в СР.

## 2. КИНЕТИКА ЭЛЕКТРОНОВ В СВЕРХРЕШЕТКЕ

Рассмотрим кинетику фотоэлектронов в СР, ограниченной, с одной стороны, буферным слоем, а с другой стороны — потенциальным барьером, отделяющим СР от ООЗ. Эта область представляет собой асимметричную глубокую до 0.5 эВ КЯ шириной около 6 нм у наружной поверхности фотокатода. Кинетика фотоэлектронов в ООЗ определяет вероятность того, что электрон, попавший в ООЗ из СР, выйдет в вакуум. Ее описание представляет собой отдельную задачу [11, 13, 24–26], решение которой выходит за рамки данной работы. Мы будем считать вероятность эмиссии электронов в вакуум не зависящей от их кинетики в СР. Действительно, в условиях краевого поглощения света, необходимого для генерации поляризованных электронов, термализация фотоэлектронов в СР происходит быстрее их транспорта в ООЗ. Поэтому функция распределения электронов, попавших в ООЗ, зависит только от температуры образца и конфигурации приповерхностной КЯ. Важно также, что при высоком уровне допирования, до  $10^{19} \text{ см}^{-3}$ , необходимом для создания резкого изгиба зон в ООЗ, потенциальный рельеф приповерхностной КЯ исключает вероятность обратного туннелирования в СР для электронов, попавших в ООЗ [13, 27]. Измерения времен фотоотклика для фотокатодов с предельно узкой рабочей областью показали, что время эмиссии электронов из ООЗ не превышает 1 пс, что сопоставимо с разрешающей способностью метода. Таким образом, мы можем считать, что экспериментально наблюдаемая зависимость тока фотоэмиссии от времени отличается от туннельного тока электронов из СР в ООЗ только постоянным множителем. Следует отметить, что величина этого множителя, фактически вероят-

нность эмиссии электронов в вакуум из ООЗ, зависит от активации поверхности фотокатода и может сильно меняться от образца к образцу.

Генерация высоко поляризованных электронов происходит при фотовозбуждении циркулярно поляризованным светом электронных состояний края верхней минизоны размерного квантования тяжелых дырок  $hh1$  в нижние состояния первой электронной минизоны  $e1$ . Таким образом, в зоне проводимости заселенной оказывается только минизона  $e1$ .

В условиях краевого поглощения кинетическая энергия генерируемых фотоэлектронов невелика, и за времена порядка 1 пс, т. е. время разрешения сигнала фотоотклика, в плоскости слоев СР успевает установиться тепловое распределение фотоэлектронов. Нас же будет интересовать распределение электронов по КЯ в СР в зависимости от времени, т. е. вертикальный электронный транспорт, который мы будем описывать кинетическим уравнением

$$\frac{\partial \hat{\rho}}{\partial t} = -\frac{i}{\hbar} [\hat{H}\hat{\rho}] + I\{\hat{\rho}\}, \quad (1)$$

где  $\rho$  — электронная матрица плотности,  $H$  — эффективный Гамильтониан электронов первой минизоны размерного квантования СР  $e1$ , описывающий движение электронов вдоль оси СР. Интеграл столкновений  $I\{\rho\}$  в правой части кинетического уравнения (1) учитывает все процессы рассеяния электронов на фононах и примесях, процессы фотовозбуждения и рекомбинации, локализации электронов и обратные процессы их термоактивации, а также туннелирования электронов из СР в ООЗ.

Спектр размерного квантования электронов рассчитывался в многозонной модели Кейна, учитывающей состояния зоны проводимости  $\Gamma_6$ , валентной  $\Gamma_8$  и спин-орбитально отщепленной зоны  $\Gamma_7$  [28]. Ширина  $\Delta E$  первой минизоны размерного квантования электронов в направлении оси СР для всех рассматриваемых структур лежит в интервале 20–40 мэВ. Эти значения намного меньше величин разрывов зон проводимости в СР, которые в наших структурах превышают 200 мэВ. Поэтому дисперсия электронов в направлении оси СР может быть описана в модели сильной связи. Для эффективного Гамильтониана  $H$  это означает, что мы можем ограничиться рассмотрением только матричных элементов  $V \equiv H_{n,n+1} = \Delta E/4$ , связывающих соседние КЯ. Этот матричный элемент определяет время туннелирования электрона между соседними КЯ  $\tau_{QW} = \pi\hbar/2V = 2\pi\hbar/\Delta E$ , которое составляет для наших СР около 100 фс. Общее время баллистиче-

ского пролета электрона через всю СР, содержащую  $N$  КЯ, составляет соответственно  $\tau_{SL} = 2\pi\hbar N/\Delta E$ .

Учитывая только матричные элементы Гамильтониана  $H$  между соседними КЯ, кинетическое уравнение (1) для заселенности каждой КЯ, т. е. для диагональных элементов  $\rho_{nn}$  матрицы плотности, запишем в виде

$$\begin{aligned} \frac{\partial \rho_{nn}}{\partial t} = & -\frac{2V}{\hbar} \operatorname{Im}\{\rho_{n,n+1}\} + \\ & + \frac{2V}{\hbar} \operatorname{Im}\{\rho_{n-1,n}\} + I\{\hat{\rho}\}_{nn}. \end{aligned} \quad (2)$$

Первые два слагаемых в правой части уравнения (2) соответствуют потоку электронов из  $n$ -й КЯ в две соседние соответственно с номерами  $n+1$  и  $n-1$ . Диагональный элемент интеграла столкновений  $I\{\rho\}$  в правой части кинетического уравнения (2) связан с процессами фотовозбуждения и рекомбинации и локализации электронов. Расчет скорости фотогенерации в рассматриваемых СР детально описан в работе [28]. Рекомбинационные потери фотоэлектронов описываются в интеграле столкновений диагональным элементом  $\rho_{nn}/\tau_r$ , где  $\tau_r$  — время рекомбинации. Для последней в СР  $N$ -й КЯ, соседней с ООЗ, имеется дополнительный вклад в интеграл столкновений, обусловленный туннельным током электронов в ООЗ. Величина этого тока  $I$  может быть записана через число электронов в последней КЯ,  $\rho_{NN}$ , и время туннелирования электронов через последний барьер,  $\tau_f$ :

$$I = \rho_{NN}/\tau_f. \quad (3)$$

Как отмечалось выше, обратным током из ООЗ мы пренебрегаем. Для вычисления времени туннелирования из последней КЯ СР в ООЗ,  $\tau_f$ , мы решили отдельную квантовомеханическую задачу о свободном движении электрона из одиночной КЯ в ООЗ. Нужно отметить, что полученное время  $\tau_f$  оказалось заметно больше, чем время  $\tau_{QW}$  туннелирования между соседними КЯ. Например, для СР SL5-998  $\tau_f = 0.25$  пс, а  $\tau_{QW} = 0.1$  пс. Данный результат является вполне естественным, поскольку туннелирование между соседними КЯ является резонансным процессом и его вероятность пропорциональна первой степени туннельной экспоненты  $\exp(-kb)$ , где  $k$  — декремент затухания волновой функции электрона в барьере ширины  $b$ . Туннелирование через последний барьер является нерезонансным процессом и его вероятность меньше, поскольку пропорциональна квадрату туннельной экспоненты  $\exp(-2kb)$ . Поэтому полное время вертикального транспорта в СР в значительной степени определяется наиболее

медленным процессом, т. е. туннелированием через последний барьер.

Поток электронов между соседними КЯ в уравнении (2) определяется мнимой частью недиагонального матричного элемента  $\rho_{nn+1}$ , который, в свою очередь, зависит от амплитуды туннелирования  $V$  и недиагонального матричного элемента интеграла столкновений  $I\{\rho\}_{nn'}$ . Последние мы будем описывать в приближении постоянного времени релаксации:

$$I\{\hat{\rho}\}_{nn'} = -\rho_{nn'}/\tau_p. \quad (4)$$

В силу слабой прозрачности барьера между соседними КЯ время релаксации импульса  $\tau_p$  определяется в основном процессами рассеяния электронов внутри каждой КЯ. Для численных расчетов мы брали время релаксации импульса равным  $\tau_p = 75$  фс. Отметим, что  $\tau_p$  сопоставимо со временем  $\tau_{QW}$  туннелирования между соседними КЯ. Поэтому в наших условиях вертикальный электронный транспорт имеет характер диффузии, а не свободного баллистического движения.

Выражение (3) можно рассматривать в качестве граничного условия на интерфейсе СР/ООЗ. На противоположном конце СР, на границе с буферным слоем, электронный ток равен нулю,  $I = 0$ . В случае диффузии электронов в объемном материале граничные условия обычно записываются через скорость поверхностной рекомбинации  $S = j/n$ , где  $j$  — плотность диффузационного тока и  $n$  — концентрация электронов. Поскольку электронный ток в буферном слое равен нулю, мы полагаем скорость поверхностной рекомбинации  $S = 0$  на границе буферного слоя. На противоположной стороне рабочей области фотокатода, на границе с ООЗ, скорость поверхностной рекомбинации в соответствие с выражением (3) равна

$$S = d/\tau_f, \quad (5)$$

где  $d = a + b$  — период СР,  $a$  — ширина КЯ. Значения скорости поверхностной рекомбинации в фотокатодах на основе СР, рассчитанные в соответствие с формулой (5), оказываются меньше, чем в случае традиционных фотоэмиттеров. Например, для СР SL5-998  $S = 3 \cdot 10^6$  см/с, для SL6-905  $S = 5 \cdot 10^6$  см/с, в то время как для объемного GaAs  $S \approx 10^7$  см/с [12, 29].

Для расчета фотоотклика мы численно решали нестационарное кинетическое уравнение (1) с возбуждающим лазерным импульсом с профилем в виде функции Гаусса с шириной около 1 пс. Полученную таким образом временную зависимость фототока  $I(t)$  (3) мы сравнивали далее с эксперимен-

тально наблюдаемым током фотоэмиссии (см. следующий раздел). Если при решении кинетического уравнения (1) не учитывать процессы электронной локализации, то фототок убывает экспоненциально  $I(t) \propto \exp(-t/\tau_t)$ , с характерным временем  $\tau_t$ , которое можно считать временем вертикального транспорта электронов минизоны  $e1$ . Для качественного анализа возможно получить приближенное выражение для  $\tau_t$ . Для этого рассмотрим кинетическое уравнение в стационарном случае при постоянной лазерной накачке. Будем также для простоты считать туннелирование между КЯ самым медленным процессом. В этих условиях при решении кинетического уравнения можно ограничиться только диагональными компонентами и компонентами, связывающими соседние КЯ. Тогда из уравнений (1), (4) следует, что

$$\rho_{n,n+1} = -i \frac{V\tau_p}{\hbar} (\rho_{n+1,n+1} - \rho_{nn}). \quad (6)$$

Соответственно, электронный ток из  $n$ -й в  $(n+1)$ -ю КЯ оказывается равным

$$\begin{aligned} I_{n,n+1} &= \frac{2V}{\hbar} \operatorname{Im}\{\rho_{n,n+1}\} = \\ &= -\frac{2V^2\tau_p}{\hbar^2} (\rho_{n+1,n+1} - \rho_{nn}). \end{aligned} \quad (7)$$

Время вертикального транспорта, определяемое в стационарном случае как отношение числа электронов в СР к скорости их генерации,

$$\tau_t = \sum_{n=1}^N \frac{\rho_{nn}}{I}, \quad I = I_{n,n+1},$$

оказывается равным

$$\tau_t = \frac{\hbar^2(N-1/2)(N-1)}{6|V|^2\tau_p} + N\tau_f. \quad (8)$$

В соответствии с выражением (8) время вертикального транспорта представляется в виде суммы времени диффузии электронов в СР, описываемого первым членом в правой части выражения (8), и времени  $N\tau_f$ , потраченного на преодоление последнего барьера перед ООЗ. Для СР SL5-998 с  $N = 12$  выражение (8) дает  $\tau_t = 5$  пс, причем главный вклад, 3 пс, связан с туннелированием через последний барьер.

Отметим, что в пределе широкой СР,  $N \gg 1$ , выражение (8) переходит в аналогичное выражение стандартной задачи диффузии в объемном материале:

$$\tau_t = \frac{L^2}{3D} + \frac{L}{S}, \quad (9)$$

где  $L = Nd$  — длина СР, скорость поверхностной рекомбинации определяется выражением (5) и коэффициент диффузии равен

$$D = \frac{2|V|^2 d^2 \tau_p}{\hbar^2}. \quad (10)$$

Типичные значения  $D$  порядка  $15 \text{ см}^2/\text{с}$ , например, для СР SL5-998  $D = 12 \text{ см}^2/\text{с}$  и для СР SL6-905  $D = 17 \text{ см}^2/\text{с}$ , что в несколько раз меньше, чем коэффициент диффузии  $D = 40 \text{ см}^2/\text{с}$  в объемном GaAs [12, 29].

Результаты решения кинетического уравнения, полученные без учета электронной локализации и описанные выше, расходятся с экспериментальными наблюдениями. Так, вместо простого экспоненциального спада фотоэмиссии с характерным временем  $\tau_t$  наблюдается более сложное, неэкспоненциальное затухание фототока. Также решение кинетического уравнения предсказывает монотонное увеличение  $QE$  фотокатода с ростом числа периодов СР вплоть до  $N \sim 50$ , что не наблюдается в эксперименте. Все это заставило нас сделать вывод о частичной локализации электронов. Чтобы проверить это предположение, мы ввели в этой работе в кинетическое уравнение (1) слагаемые, описывающие процессы локализации электронов. В матрице плотности  $\rho_{nk,n'k'}$  мы ввели дополнительный индекс  $k$ , отличающий делокализованные состояния  $e1$  первой электронной минизоны,  $k = m$ , от локализованных состояний,  $k = l$ . В интеграл столкновений  $I\{\rho\}$  мы ввели слагаемые, описывающие процессы захвата электронов на локализованные состояния с характерным временем  $\tau_c$ , и обратные процессы их термоактивации с характерным временем  $\tau_d$ . Мы не рассматриваем процессы туннелирования между локализованными состояниями в соседних ямах, поскольку подобные нерезонансные переходы намного медленнее переходов между КЯ через минизонные состояния, описываемые выражением (7). Переходы между локализованными и делокализованными (минизонными) состояниями, т. е. процессы захвата и термоактивации, происходят независимо внутри каждой КЯ. В нашем кинетическом уравнении эти процессы описываются дополнительными диагональными слагаемыми в интеграле столкновений  $\rho_{nm, nm}/\tau_c$  и  $\rho_{nl, nl}/\tau_d$ , где индекс  $n$  обозначает номер КЯ, а индексы  $l$  и  $m$  различают локализованные и делокализованные (минизонные) состояния. Отметим, что предложенная модель, конечно, несколько упрощает реальную картину. В действительности можно ожидать наличие широкой группы электронных ловушек с различными временами захвата и термоактивации. Мы

же заменяем подобную дисперсию времен одним характерным временем  $\tau_{c,d}$ . С другой стороны, имеющихся экспериментальных данных пока еще недостаточно для построения более детальной кинетической схемы. В предложенной модели времена  $\tau_c$  и  $\tau_d$  рассматриваются как параметры, выбираемые для достижения наилучшего согласия теории и эксперимента.

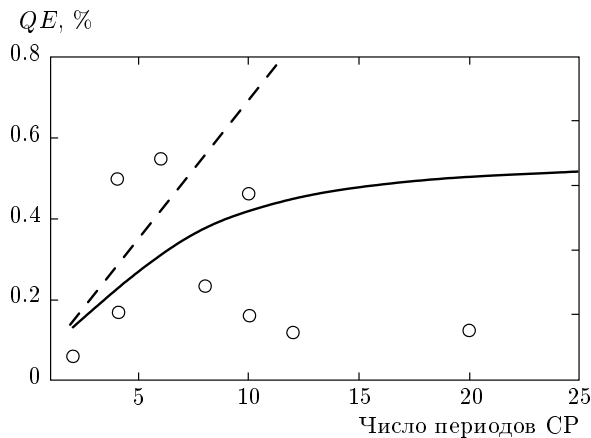
### 3. РЕЗУЛЬТАТЫ И ОБСУЖДЕНИЕ

Мы провели расчеты вертикального транспорта в AlInGaAs/AlGaAs СР с напряженными КЯ, для которых были проведены измерения  $QE$  и/или фотоотклика источников электронов с рабочей областью на их основе. Все образцы были выращены на GaAs-подложке  $p$ -типа (100) методом молекулярно-лучевой эпитаксии. Структура фотокатода состоит из широкого буферного слоя  $\text{Al}_x\text{Ga}_{1-x}\text{As}$  ( $x = 0.35\text{--}0.4$ ), дopedированного Ве до уровня  $6 \cdot 10^{18} \text{ см}^{-3}$ , на котором выращивался рабочий слой, содержащий от 6 до 15 периодов СР  $\text{Al}_x\text{In}_y\text{Ga}_{1-x-y}\text{As}(a)/\text{Al}_z\text{Ga}_{1-z}\text{As}(b)$ , дopedированной Ве до уровня  $3 \cdot 10^{17} \text{ см}^{-3}$ . Состав слоев,  $x, y, z$ , величины толщины ям ( $a$ ) и барьера ( $b$ ), а также число периодов СР приведены в табл. 1. Над рабочим слоем СР выращивался поверхностный слой GaAs, дopedированный Ве до уровня  $7 \cdot 10^{18} \text{ см}^{-3}$  ( $1 \cdot 10^{19} \text{ см}^{-3}$  для SL5-998) для создания узкой области ООЗ. Для создания отрицательного электронного средства атомно-чистая поверхность GaAs активировалась цезием и кислородом. Все измерения проводились при комнатной температуре.

Мы провели измерения  $QE$  для серии фотокатодов с СР, по составу близкими к SL6-905 и содержащими от 2 до 20 периодов. Результаты представлены на рис. 1. Значительный разброс экспериментальных данных связан с тем, что процедура активации поверхности фотокатода цезием и кислородом не обеспечивает одинаковое значение вероятности эмиссии электронов из ООЗ в вакуум для всех образцов. Это обстоятельство затрудняет детальное сравнение экспериментальных данных с результатами расчетов. Тем не менее можно уверенно заключить, что результаты измерений не соответствуют линейному росту  $QE$ , полученному в расчетах без учета электронной локализации (штриховая линия). Результаты расчетов  $QE$  с учетом частичной локализации показаны на рис. 1 сплошной линией. Видно, что электронная локализация сильно подавляет рост  $QE$ . Параметры электронной локализации, ис-

**Таблица 1.** Состав рабочей области фотокатода: число слоев СР ( $N$ ), содержание Al ( $x$ ) и In ( $y$ ) в  $\text{Al}_x\text{In}_y\text{Ga}_{1-x-y}\text{As}$ -слое КЯ, содержание Al ( $z$ ) в  $\text{Al}_z\text{Ga}_{1-z}\text{As}$ -барьеере и их толщины ( $a$  — КЯ,  $b$  — барьер)

Образец	КЯ		Барьер	Ширина		$N$
	$x$ , %	$y$ , %		$z$ , %	$a$ , нм	
SL5-998	20	16	28	3.5	4.0	15
SL5-337	20	16	28	5.0	4.0	15
SL7-395	20	19	40	5.4	2.1	12
SL7-396	20	19	40	5.4	2.1	12
SL6-905	20	15.5	36	5.1	2.3	10
SL6-908	20	15.5	36	5.1	2.3	6



**Рис. 1.** Зависимость  $QE$  от толщины СР. Точки показывают экспериментальные результаты, сплошная и штриховая кривые показывают результаты расчетов, проведенных с учетом и без учета электронной локализации

пользованные в расчете, представлены в табл. 2 для образца SL6-905. Их выбор будет обсужден ниже. Время электронной рекомбинации в СР было выбрано равным  $\tau_r = 50$  пс [30].

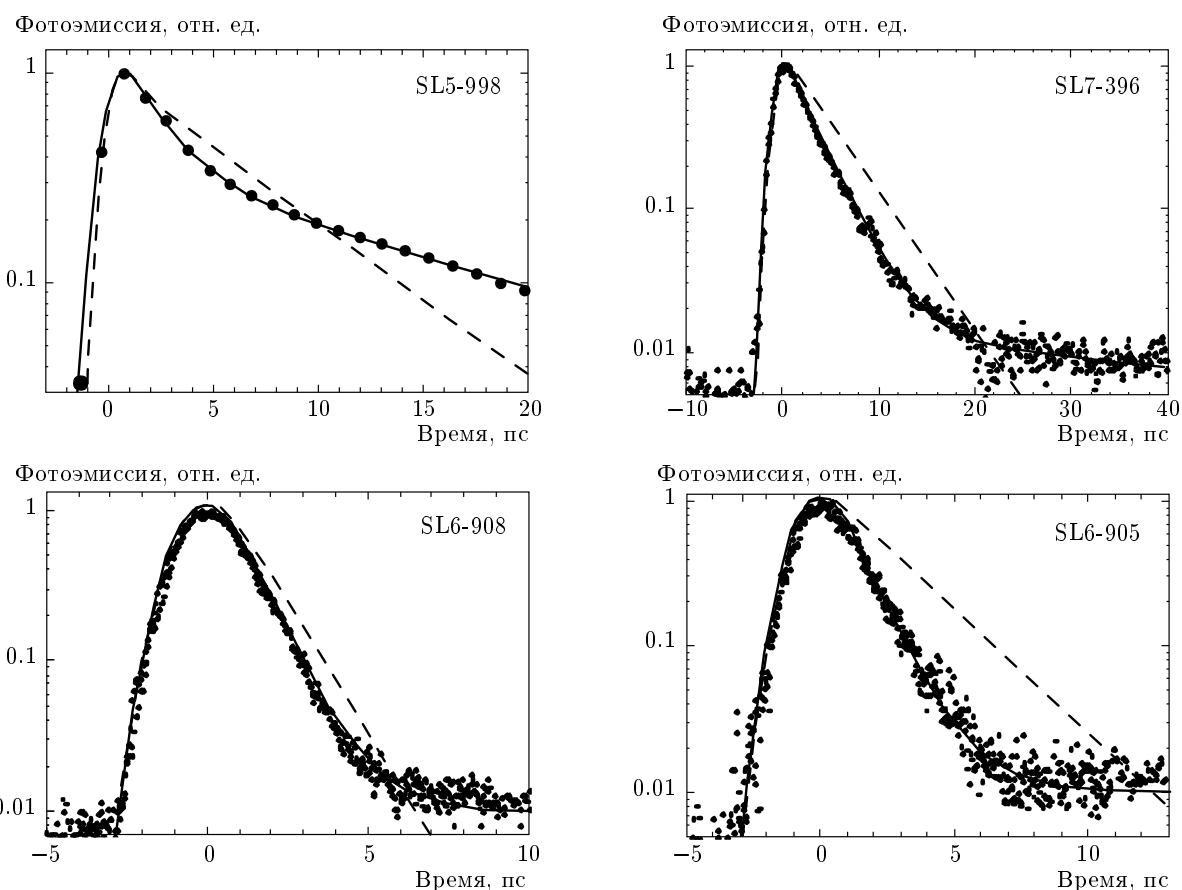
Более детальный анализ электронного транспорта в рассматриваемыхnanoструктурах может быть проведен на основе данных измерений токов фотоэмиссии при импульсном возбуждении фотокатода фемтосекундным лазером. Для всех образцов, представленных в табл. 1, мы провели расчеты фотоотклика путем численного решения кинетического уравнения (1). Полученные результаты вместе с экспериментальными данными показаны на рис. 2 и в табл. 2. Штриховые кривые на рис. 2 показывают поведение фотоотклика, рассчитанного без учета электронной локализации. Он экспоненциально

убывает с характерным временем  $\tau_t$ , близким к времени вертикального транспорта делокализованных электронов (блоховского транспорта), описываемому приближенным выражением (8). Его численные значения представлены в третьем столбце табл. 2. На рис. 2 видно, что во всех образцах экспериментальный сигнал убывает быстрее, чем  $\tau_t$ . Мы объясняем это присутствием частичной электронной локализации. Действительно, при наличии электронных ловушек фототок будет убывать быстрее благодаря комбинации двух процессов: блоховского транспорта электронов из СР в ООЗ с последующей эмиссией в вакуум и захвата электронов ловушками. Время убывания фототока можно приближенно записать как  $\tau = 1/(1/\tau_t + 1/\tau_c)$ . Это время показано в шестом столбце табл. 2. Время захвата  $\tau_c$  электронов, как и время обратного процесса термоионизации  $\tau_d$ , подбиралось для достижения наилучшего согласия экспериментальных и теоретических зависимостей токов фотоэмиссии. На рис. 2 сплошные кривые показывают зависимость фототока, рассчитанную с учетом электронной локализации. Видно, что выбором двух параметров  $\tau_c$  и  $\tau_d$  можно добиться хорошего согласия теории и эксперимента. Значения этих параметров зависят от плотности электронных ловушек и могут сильно меняться от образца к образцу. Это обстоятельство не позволяет проследить зависимость времени спада фотоотклика от числа слоев. Так, у СР с шестью (SL6-908) и десятью (SL6-905) слоями близкие времена спада фотоотклика, хотя их времена блоховского транспорта  $\tau_t$  различаются вдвое.

В образцах с более короткими временами захвата и более длинными временами термоионизации выше уровень электронной локализации. В этих образцах электронный транспорт подавлен, поскольку

**Таблица 2.** Параметры вертикального электронного транспорта, транспортное время делокализованных электронов минизоны  $e1$  ( $\tau_t$ ), время захвата ( $\tau_c$ ), время термоактивации ( $\tau_d$ ), время отклика ( $\tau$ ), длина диффузии ( $L_D$ ) и потери электронов в СР

Образец	$N$	$\tau_t$ , пс	$\tau_c$ , пс	$\tau_d$ , пс	$\tau$ , пс	$L_D$ , периоды	Потери электронов, %
SL5-998	15	5.8	4.5	6.0	2.3	36	12
SL5-337	15	15.8	5.5	160	4.0	8	64
SL7-395	12	4.5	3.7	200	2.1	11	45
SL7-396	12	4.5	9.0	110	3.0	18	23
SL6-905	10	2.5	2.1	130	1.1	10	41
SL6-908	6	1.2	4.5	50	0.95	19	9



**Рис. 2.** Фотоотклик образцов SL5-998, SL7-396, SL6-905 и SL6-908. Экспериментальный сигнал показан точками, сплошные и штриховые кривые показывают результаты расчетов, проведенных с учетом и без учета электронной локализации

значительная часть электронов захвачена ловушками и не имеет шанса попасть в ООЗ до рекомбинации. Уменьшение доли делокализованных электронов приводит к уменьшению токов диффузии (7),

что эквивалентно уменьшению коэффициента диффузии по сравнению с выражением (10) примерно в той же пропорции, что и число делокализованных электронов. Для демонстрации воздействия локали-

зации электронов на  $QE$  фотокатода мы представили в двух последних столбцах табл. 2 диффузионную длину  $L_D = (D\tau_r)^{1/2}$ , рассчитанную с учетом эффекта частичной локализации электронов, и потери электронов в СР. В образцах с высоким уровнем локализации электронов диффузионная длина сопоставима с шириной СР, что приводит к значительным потерям фотоэлектронов. Это видно по зависимости  $QE$  от ширины СР на рис. 1 (сплошная кривая), рассчитанной для уровня локализации электронов как в образце SL6-905 с  $L_D/d = 10$ .

Образец SL6-908 имеет лучшие транспортные свойства. У него наибольшее отношение диффузионной длины к толщине СР  $L_D/L = 3$  и, соответственно, наименьшие электронные потери. Если бы все электроны в образце SL6-908 были делокализованы, то отношение  $L_D/L$  было бы равно 6.5. Грубо, отношение  $L_D/L$  показывает, насколько можно было бы увеличить  $QE$  фотоэмиттера, если бы удалось вырастить фотокатод с шириной СР большей  $L_D$  при сохранении транспортных свойств СР данного образца. Однако на практике этого не удается достичь. Таблица 2 показывает, что широкие СР имеют худшие транспортные свойства.

В данной работе мы не определяем природу локализованных состояний, как и зависимость их плотности от толщины СР. Структура фотокатода сильно легируется для создания узкой ООЗ. Наибольшая концентрация примесей до  $10^{19} \text{ см}^{-3}$  в ООЗ, но и сама СР также сильно допирована, до  $3 \cdot 10^{17} \text{ см}^{-3}$ . Флуктуации примесного потенциала могут приводить к формированию локализованных электронных состояний. Подобное явление наблюдалось ранее в СР GaAs/AlAs при сопоставимых уровнях дипрования,  $1 \cdot 10^{17}\text{--}7 \cdot 10^{17} \text{ см}^{-3}$  [7]. При уровне дипрования  $4 \cdot 10^{17} \text{ см}^{-3}$  60 % электронов было локализовано, что проявлялось в резком уменьшении вертикальной проводимости СР.

Неизбежные структурные дефекты СР, такие как флуктуации состава слоев и их ширин, также могут приводить к локализации фотоэлектронов. Однако представляется, что плотность электронных ловушек подобной природы не должна зависеть от длины СР. Напротив, плотность структурных дефектов, таких как дислокации, возникающие при релаксации напряжений в СР, возрастает с увеличением ее толщины. Различие постоянных решетки гетерослоев КЯ и барьера СР сдвигает край зоны проводимости вверх примерно на 0.1 эВ. Поэтому деформационный потенциал дислокаций играет роль глубоких ям для электронов минизоны проводимости  $e1$  и может приводить к локализации фотоэлектронов.

Отметим еще раз, что сильная деформация СР необходима для увеличения энергетического расщепления минизон тяжелых и легких дырок, что важно для достижения высокой электронной поляризации. Таким образом, задача достижения высокой поляризации фотоэмиссии опять вступает в противоречие с задачей увеличения  $QE$ . Целью последующей работы будет, наряду с определением природы электронной локализации, нахождение оптимального числа периодов СР, которые можно вырастить, сохранив хорошие транспортные свойства в комбинации с высокой электронной поляризацией.

#### 4. ЗАКЛЮЧЕНИЕ

Предложена модель кинетики вертикального электронного транспорта в полупроводниковой СР, учитывающая движение электронов в нижней минизоне размерного квантования и их частичную локализацию. Были проведены расчеты фотоотклика серии фотокатодов с AlInGaAs/AlGaAs-СР с различном числом периодов при их импульсном возбуждении фемтосекундным лазером. Сравнение результатов расчетов с экспериментальными данными доказывает наличие частичной локализации фотоэлектронов. Мы продемонстрировали, что электронная локализация замедляет вертикальный транспорт и ведет к потерям фотоэлектронов. Частичная электронная локализация ограничивает полезную длину рабочей области фотокатода и тем самым его максимально возможную  $QE$ .

#### ЛИТЕРАТУРА

1. L. Esaki and R. Tsu, IBM J. Res. Dev. **14**, 61 (1970).
2. J. F. Palmer, C. Minot, J. E. Lievin et al., Appl. Phys. Lett. **49**, 1260 (1986).
3. T. Duffield, R. Bhat, M. Koza et al., Phys. Rev. Lett. **56**, 2724 (1986).
4. J. Barrau, K. Khirouni, Do Xuan Than et al., Sol. St. Comm. **74**, 147 (1990).
5. A. Chomette, B. Deveaud, J. Y. Emery, A. Regreny, and B. Lambert, Sol. St. Comm. **54**, 75 (1985).
6. Yu. A. Pusep, A. G. Milekhin, and A. I. Тогоров, J. Phys. C **6**, 93 (1994).
7. Yu. A. Pusep, A. J. Chiquito, S. Mergulhao, and J. C. Galzerani, Phys. Rev. B **56**, 3892 (1997).

8. F. Piazza, L. Pavesi, A. Vinattieri, J. Martinez-Pastor, and M. Colocci, Phys. Rev. B **47**, 10625 (1993).
9. T. Amand, J. Barrau, X. Marie et al., Phys. Rev. B **47**, 7155 (1993).
10. L. G. Gerchikov, K. Aulenbacher, Yu. A. Mamaev et al., Semicond. **46**, 67 (2012).
11. Р. Л. Белл, Эмиттеры с отрицательным электронным сродством, Энергия, Москва (1978), с. 192.
12. K. Aulenbacher, J. Schuler, D. V. Harrach et al., J. Appl. Phys. **92**, 7536 (2002).
13. A. V. Subashiev, Yu. A. Mamaev, Yu. P. Yashin, and J. E. Clendenin, Phys. Low-Dimensional Structures **1/2**, 1 (1999).
14. Y. Z. Wu, A. K. Schmid, M. S. Altman et al., Phys. Rev. Lett. **94**, 27201 (2005).
15. R. Vollmer, M. Etzkorn, P. S. Anil Kumar et al., Phys. Rev. Lett. **91**, 147201 (2003).
16. M. Bicer, H. Duran Yildiz, I. Yildiz, et al., J. High Energy Phys. **01**, 164 (2014).
17. Б. П. Захарченя, Ф. Мейер, Оптическая ориентация, Наука, Ленинград (1989).
18. T. Nishitani, T. Nakanishi, M. Yamamoto et al., J. Appl. Phys. **97**, 94907 (2005).
19. Yu. A. Mamaev, L. G. Gerchikov, Yu. P. Yashin et al., Appl. Phys. Lett. **93**, 81114 (2008).
20. A. Brachmann, J. E. Clendenin, E. L. Garwin et al., AIP Conf. Proc. 17th Int. Spin Phys. Symp. (Kyoto, Japan, 2006) **915**, 1091 (2007).
21. T. Saka, T. Kato, T. Nakanishi et al., Jpn. J. Appl. Phys. **32**, L1837 (1993).
22. J. C. Groebli, D. Oberli, F. Meier, A. Dommann, Yu. A. Mamaev, A. V. Subashiev, and Yu. P. Yashin, Phys. Rev. Lett. **74**, 2106 (1995).
23. Л. Г. Герчиков, Ю. А. Мамаев, Ю. П. Яшин и др., ФТП **43**, 483 (2009).
24. Yu. A. Mamaev, A. V. Subashiev, Yu. P. Yashin, H.-J. Drouhin, and G. Lampel, Sol. St. Comm. **114**, 401 (2000).
25. Yu. A. Mamaev, H.-J. Drouhin, G. Lampel, A. V. Subashiev, Yu. P. Yashin, and A. Rochansky, J. Appl. Phys. **93**, 9620 (2003).
26. D. A. Orlov, M. Hoppe, U. Weigel, D. Schwalm, A. S. Terekhov, and A. Wolf, Appl. Phys. Lett. **78**, 2721 (2001).
27. L. G. Gerchikov, B. D. Oskotskij, and A. V. Subashiev, in Proc. 12th Int. Symp. High-Energy Spin Phys., Amsterdam, Netherlands (1996), ed. by C. W. D. De Jager et al., World Scientific (1997), p. 746.
28. A. V. Subashiev, L. G. Gerchikov, and A. I. Ipatov, J. Appl. Phys. **96**, 1511 (2004).
29. B. D. Oskotskij, A. V. Subashiev, and Yu. A. Mamaev, Phys. Low-Dim. Struct. **1/2**, 77 (1997).
30. T. Matsuyama, H. Takikita, H. Horinaka et al., Jpn. J. Appl. Phys. **43**, 3371 (2004).